

زیست‌چینه‌نگاری و محیط دیرینه نهشته‌های سازند قم در شمال خاور ماهنشان

جهانبخش دانشیان^{*}، مصطفی شهرابی^۲ و مقصومه اخلاقی^۱

^۱ گروه زمین‌شناسی، دانشکده علوم، دانشگاه تربیت معلم تهران، تهران، ایران
^۲ شرکت زرناپ اکتشاف، تهران، ایران

تاریخ دریافت: ۱۳۸۷/۱۲/۰۴

تاریخ پذیرش: ۱۳۸۷/۰۴/۱

چکیده

در این مطالعه ۷۵ نمونه از نهشته‌های سازند قم در برش چینه‌شناسی اندآباد در شمال خاور ماهنشان از نظر روزن‌داران موجود مورد بررسی قرار گرفتند. سازند قم در برش یادشده با سمترا ۳۰۱ متر شامل سنگ‌آهک و مارن بوده و مرز آن با نهشته‌های سازند سرخ فوکانی در بالا و سازند سرخ زیرین در پایین به صورت ناپیوستگی هم شیب است. در این بررسی به طور کلی ۳۹ جنس و ۶۵ گونه از روزن‌داران کف‌زی و ۳ جنس و ۵ گونه از روزن‌داران پلانکتون تشخیص داده شد که ۳۷ جنس و ۵۷ گونه از روزن‌داران از این ناحیه برای نخستین بار گزارش می‌شوند. از میان میکروفسیل‌های موجود، روزن‌داران کف‌زی با توجه به تنوع و فراوانی اهمیت بیشتری داشته و مبنای بررسی زیست‌چینه‌نگاری قرار گرفتند. به علت شباهت مجموعه روزن‌داران کف‌زی سازند قم، سازند آسماری و سازند آسماری ارائه شده در بررسی‌های زیست‌چینه‌نگاری و تعیین سن نسبی نهشته‌های سازند قم در برش چینه‌شناسی اندآباد استفاده شد. بر همین اساس و با توجه به گونه‌های شاخص معرفی شده در زون‌بندی زیستی یادشده برش چینه‌شناسی اندآباد با زیست‌زون‌های شماره ۱ و قابل تطبیق و مقایسه است. بر پایه حضور، تجمع و گسترش چینه‌شناسی روزن‌داران سن نهشته‌های سازند قم در برش اندآباد اکتائینی پسین تا بوردیگالین تعیین شد. تجمع، فراوانی و تنوع گونه‌ای روزن‌داران در نمونه‌های برش اندآباد تغییر شرایط محیطی را نشان می‌دهد و در طول برش تنوع روزن‌داران به طور متابوپ کاهش و افزایش می‌باشد. این در حالی است که بیشترین تنوع روزن‌داران تا ۱۶ گونه می‌رسد. نهشته‌های سازند قم در برش اندآباد بر مبنای تغییرات تنوع گونه‌ای به ۹ تجمع A تا I تقسیم‌بندی شد. بر پایه فراوانی روزن‌داران در هر تجمع نهشته‌های سازند قم مربوط به محیط دریایی و سکوی قاره‌ای درونی (inner shelf) بوده و با تغییرات ژرف‌های بوده است.

کلیدواژه‌ها: ایران مرکزی، ماهنشان، میوسن پیشین، زیست‌چینه‌نگاری، محیط دیرینه، روزن‌داران، سازند قم.

E-mail: daneshian@saba.tmu.ac.ir

* نویسنده مسئول: جهانبخش دانشیان

۱- مقدمه

روی زمین با توجه به ویژگی‌های سنگ‌شناسی و محتویات فسیلی نمونه‌ها قرار داده شد و در محل‌هایی که رخساره‌ها تغییرات چندانی نشان ننمی‌دادند، فاصله نمونه‌برداری بیشتر در نظر گرفته شد. از نمونه‌های سخت طی چند مرحله مقاطع نازک تهیه شد. نمونه‌های نرم نیز پس از ۴۸ ساعت خیساندن در آب و ۲۴ ساعت خیساندن در آب اکسیژنه ۱۰٪ از روی الک‌های ۳۵، ۶۰، ۱۰۰ میلی‌متری خشک شده و سپس ۳ گرم (از هر الک یک گرم) را وزن کرده و میکروفسیل‌های آن در زیر استریو میکروسکوپ جدا شدند. نمونه‌های سخت با میکروسکوپ نوری معمولی و نمونه‌های نرم با استریو میکروسکوپ مورد بررسی قرار گرفتند و سپس بر اساس منابع و مقاله‌های موجود روزن‌داران شناسایی و از آنها عکس تهیه شد. پس از تعیین گسترش چینه‌شناسی این میکروفسیل‌ها در برش مورد بررسی، نمودارهای مربوط به آن رسم شد و سن نسبی برش بر اساس تجمع روزن‌داران و بویژه گونه‌های شاخص تعیین شد. در مرحله بعد گونه‌های روزن‌داران در نمونه‌ها شمارش شدند و در نهایت مقدار درصد برای روزن‌داران بر مبنای نوع پوسته (هیالین- پورسلاپتو- آگلوبینی) تعیین شد. از آن جا که نوسان در میزان تغییرات تنوع گونه‌ای گویای تغییرات محیطی است، از این رونه‌هایها بر اساس افزایش و کاهش تنوع گونه‌ای دسته‌بندی شدند. در ادامه، برای هر تجمع، نمودار مثلثی بر مبنای پوسته روزن‌داران رسم شد و همچنین تعداد گونه‌های شناسایی شده به تفکیک در هر نمونه مورد بررسی قرار گرفتند. بدیهی است تغییر در تعداد گونه‌ها نشانگر تغییر شرایط محیطی است. از این رو برای درک هر چه بهتر شرایط محیطی و بوم‌شناختی روزن‌داران در برش مورد مطالعه، بر اساس تغییرات تنوع گونه‌ای، نهشته‌های سازند قم به چند تجمع (assemblage) تقسیم شدند و با استناد به بررسی‌های Murray (1991, 2002) بر اساس فراوانی روزن‌داران محیط و ژرف‌ا در هر تجمع قابل تشخیص است.

روزن‌داران از کم ژرفاترین تا ژرف‌ترین نقاط در دریاها و اقیانوس‌ها زیست می‌نمایند و پراکندگی شان تحت تأثیر عوامل محیطی و بوم‌شناسی (ecologic) است. بنابراین آشکار است که روزن‌داران و تغییرات تنوع گونه‌ای آن می‌توانند به عنوان یکی از بهترین ابزار برای درک و بازسازی محیط‌های گذشته به کار آیند. آنچه مسلم است روزن‌داران نقش مهمی در درک ارتباط شرایط فیزیکی و شیمیایی زیست‌شناختی محیط دارند و یکی از با اهمیت‌ترین تاکسا بویژه در محیط دریایی و حاشیه دریا به شمار می‌روند. همچنین با بررسی این میکروفسیل‌ها می‌توان به نتایج دقیقی در زمینه سن نهشته‌ها و گسترش چینه‌شناسی آن دست یافت. به همین منظور، برای مطالعه زیست‌چینه‌نگاری و محیط دیرینه نهشته‌های سازند قم بر پایه روزن‌داران در محدوده موردنظر برش چینه‌شناسی اندآباد انتخاب شد.

۲- موقعیت جغرافیایی و راه دسترسی به برش مورد بررسی

به منظور بررسی سنگ‌چینه‌نگاری، زیست‌چینه‌نگاری و محیط دیرینه سازند قم، برش اندآباد انتخاب شد. این برش در شمال خاوری ماهنشان قرار دارد و دسترسی به آن از راه جاده زنجان- نیکپی امکان‌پذیر است. فاصله اندآباد تا زنجان حدود ۵۵ کیلومتر است. این برش دارای مختصات جغرافیایی "۳۶°۳۳' ۳۶°۳۳' عرض شمالی و ۴۷°۰۵' ۴۷°۰۵' طول خاوری است (شکل ۱).

۳- روش مطالعه

پس از جمع‌آوری منابع و تقسیم‌بندی موضوعی آنها با توجه به اهداف مطالعه، از محدوده موردنظر بازدید زمین‌شناسی به عمل آمد، و برش چینه‌شناسی تعیین و در چند مرحله نمونه‌برداری انجام شد. مبنای نمونه‌برداری از نمونه‌های سخت و نرم در

۴- اهداف بررسی

commune, Hanzawaia boueana, Amphistegina hauerina, Elphidium flexuosum, Elphidium fichtelianum, Elphidium hauerinum, Operculina compalanta, Globigerina praebulloides, Cibicides lobatulus, Lenticulina inornata, Borelis melo curdica, Borelis melo melo, Neoeponides schreibersi, Eponides umbonatus, Anomaliniodes sp., Quinqueloculina buchiana, Quinqueloculina peregrina, Glomospira sp., Planorbulina sp., Quinqueloculina sp., Massilina spp., Textularia.sp.cf.T.mexican, Pyrgo simplex, Guttulina consobrina, Triloculina gibba, Pyrgo lunula, Pyrgo clypeata, Quinqueloculina triangularis, Asterigerina planorbis, Textularia spp., Shaerogypsina globulus, Asterigerina sp., Bigenerina sp., Schlumbergerina spp., Globrotalia sp., Dendritina rangi, Meandropsina anahensis, Triloculina sp., Spiroloculina sp., Heterolina sp., Peneroplis sp., Haplophragmium sp., Archaias sp., Reussella sp., Cibicides ungerianus, Globigerinoides sp., Pyrgo inornata, Nonion sp., Uvigerina mexicana, Peneroplis evolutus, Valvulina sp., Miopelidocyclina sp., Meandropsina iranica, Discorbis spp., Triloculina tricarinata, Operculina sp., Meandropsina sp., Archaias kirkukensis, Triloculina trigonula, Miogypsina spp., Miogypsinoides spp.

در این میان گونه‌های شناسایی شده و مقایسه با مظفری (۱۳۷۸)، ۳۷ جنس و ۵۷ گونه برای اولین بار گزارش می‌شود، همچنین لازم به یادآوری است که مظفری هیچ گونه‌ای از روزن‌داران پلانکتیک را از منطقه گزارش نکرد. نکه قابل توجه دیگر آن است که گونه *Melonis pompilioides* تاکنون از نهشته‌های سازند قم گزارش نشده است که در این پژوهش برای نخستین بار گزارش می‌شود. دیگر جنس‌ها و گونه‌های دیگر که در محدوده مورد بررسی برای اولین بار شناسایی شدند عبارتند از *Ammonia beccarii, Amphistegina sp., Archaias kirkukensis Archaias sp., Asterigerina sp., Asterigerina planorbis, Borelis melo melo, Cibicides ungerianus, Cibicides lobatulus, Cycloforina spp., Dendritina rangi, Discorbis spp., Elphidium crispum, Elphidium fichtelianum, Elphidium flexuosum, Elphidium hauerinum, Elphidium obtusum, Eponides umbonatus, Glomospira sp., Hanzawaia boueana, Haplophragmium sp., Heterolina sp., Lenticulina inornata, Massilina spp., Miogypsina spp., Miogypsinoides spp., Miopelidocyclina sp., Neoeponides schreibersi, Nonionella hantkeni, Nonion commune, Operculina compalanta, Operculina sp., Peneroplis evolutus, Peneroplis sp., Planorbulina sp., Pyrgo lunula, Pyrgo clypeata, Pyrgo simplex, Pyrgo inornata, Quinqueloculina buchiana, Quinqueloculina triangularis, Quinqueloculina peregrina, Reussella sp., Shaerogypsina globulus, Textularia.sp.cf.T.mexican, Textularia spp., Triloculina gibba, Triloculina tricarinata, Triloculina trigonula, Uvigerina mexicana, Globigerinoides primordius, Globigerinoides triloba, Globigerinoides sp., Globrotalia sp., Globigerina praebulloides.*

حضور گونه‌های شاخص مانند : *Borelis melo curdica, Globigerinoides primordius, Dendritina rangi, Peneroplis evolutus, Globigerinoides trilobus .(plate1, plate2) Triloculina trigonula* و *هم ارزی زمانی و شباهت گونه‌های روزن‌داران کف‌زی نهشته‌های سازند آسماری*

افرون بربررسی زیست‌چینه‌نگاری روزن‌داران، محیط دیرینه آنها بار در ناحیه مورد مطالعه مورد بررسی قرار می‌گیرد. بنابراین هدف از انجام این بررسی‌ها عبارتند از: ۱- مطالعه واحدهای سنگی نهشته‌های سازند قم در برش انتخابی واقع در شمال خاوری ماهنشان ، ۲- شناسایی، رده‌بندی و مطالعه سیستماتیک روزن‌داران موجود در نهشته‌های سازند قم و تعیین گسترش چینه‌شناسی آنها، ۳- تعیین سن نسی و زیست‌چینه‌نگاری نهشته‌های برش مورد بررسی ۴- مطالعه محیط دیرینه روزن‌داران در برش مورد بررسی.

۵- زمین‌شناسی عمومی و چینه‌نگاری محدوده مورد بررسی

در زنجان در ناحیه اندآباد - موشمپا، ردیف ستبری از رسوبات تخریبی الیگومن زیرین (پالئوژن) و لايههای متناوب سرخ و سبز نتوزن وابسته به محیط‌های کم ژرف و تبخیری وجود دارد که به صورت تپه‌ماهوری دیده می‌شود. Alavi-Naini et al. (1968) این نهشته‌ها را به سه بخش کنکلومرای قاعده‌ای، در حدود ۲۰۰ متر سنگ‌آهک فسیل دار سفید متمایل به زرد و ۴۰۰ متر مارن‌های سبز خاکستری و ماسه‌سنگ تقسیم نمودند. در زمان تنشست رسوبات سازند قم در این بخش از حوضه، فعالیت آتشفسانی زیادی وجود داشته است. آثار این فعالیت به شکل گدازه و نهشته‌های آذرآواری با ترکیب‌های مختلف در درون رسوبات دریابی سازند قم به چشم می‌خورد. بر اساس اطلاعات موجود به نظر می‌رسد محدوده شمالی، شمال خاور و خاور تکاب پیشتر تحت تأثیر فعالیت آتشفسانی قرار گرفته و به طرف جنوب سنگ‌های آتشفسانی و آذرآواری نقش کمتری را در حوضه رسوبی الیگومن - میوسن به عهده داشته‌اند، برای مثال در کوه شاهنشین، شمال تبریزک، شمال باخته ماهنشان، جنوب موشمپا و در خاور گوگلر در این مناطق سنگ‌های آتشفسانی دارای ستبرای زیادی هستند و در افق‌های چینه‌شناسی مختلفی نیز دیده شده‌اند (رحیم زاده، ۱۳۷۳). پژوهش‌های انجام شده در منطقه ماهنشان، نشان می‌دهد که نهشته‌های سازند قم در زنجان کمتر مورد بررسی قرار گرفته است، به عنوان مثال مظفری (۱۳۷۸) (سنگ چینه‌شناسی، زیست‌چینه‌نگاری سازند قم و سنگ چینه‌نگاری سازندهای سرخ زیرین و بالایی را در شمال خاور تکاب مورد بررسی قرار داده و برای برش‌های مورد مطالعه خود به طور کلی از چند جنس و گونه روزن‌داران نام برده است.

۶- بحث

در این مطالعه ۷۵ نمونه از نهشته‌های سازند قم در برش چینه‌شناسی اندآباد در شمال خاوری ماهنشان از نظر محوثیات روزن‌داران مورد بررسی قرار گرفتند. سازند قم در برش یادشده با ۳۰۱ متر ستبرای پیشتر شامل سنگ‌آهک و مارن بوده و مرز آن با نهشته‌های سازند سرخ بالایی (در بالا) و سازند سرخ زیرین (در پایین) به صورت ناپیوستگی فرسایشی است (شکل ۲). در این پژوهش برای شناسایی روزن‌داران از متابعی مانند: Adams & Bourgeois (1967); Becker & Dusenbury (1985); Bolli & Saunders (1987); Blow (1969); Henson (1950); Kennet & Srinivasan (1983); Loeblich & Tappan (1988); Mohsenul Haque (1959); Papp & Schmid (1985); Postuma (1971); Rahaghi (1973, 1980); Todd (1952) استفاده شد و نتیجه بررسی روزن‌داران به طور کلی منجر به تشخیص ۴۲ جنس و ۷۰ گونه شد که ۳۹ جنس و ۶۵ گونه از آنها روزن‌داران کف‌زی و ۳ جنس و ۵ گونه روزن‌داران پلانکتون هستند (شکل ۳) (ترتیب اسامی گونه‌ها بر مبنای اولین حضور آنها در برش مورد مطالعه است):

Ammonia beccarii, Elphidium obtusum, Melonis pompilioides, Amphistegina sp., Spirolina austriaca, Cycloforina spp., Elphidium crispum, Nonionella hantkeni, Globigerinoides primordius, Globigerinoides triloba, Nonion

Borelis melo curdica, *Discorbis* sp., *Pyrgo* sp., *Quinqueloculina* sp., *Globorotalia* sp. و *Amphistegina* sp., *Asterigerina* sp. از فراوانی بیشتری برخوردار است و نشانگر محیط shelf هستند. در تجمع H (assemblageH) که گونه‌های *Borelis melo curdica*, *Pyrgo* sp., *Globorotalia* sp., *Elphidium* sp. و *Textularia* sp. از فراوانی بیشتری برخوردار هستند نیز نشانگر محیط shelf است. ولی در تجمع I (گونه‌های assemblage I) *Borelis melo curdica*, *Amphistegina* sp., *Quinqueloculina* sp., *Pyrgo* sp., *Elphidium* sp., *Asterigerina* sp., *Quinqueloculina* sp., *Sphaerogypsina globulus* و *Planorbulina* spp., بوده و نشانگر محیط inner shelf هستند. بررسی کلی برش چینه‌شناسی اندآباد نشان می‌دهد که محیط سازند قم shelf و به احتمال بیشتر inner shelf است. برای بررسی تغییرات محیطی نمودارهای مثلثی فراوانی پوسته روزن‌داران در برش انتخابی از نظر نوع پوسته در تجمع‌های A تا I نیز رسم شدند (شکل ۵). بر اساس این نمودارها می‌توان دریافت که بیشتر روزن‌داران دارای پوسته پورسلاپوز و هیالین هستند. به طوری که بیشترین تراکم در تجمع A و I با پوسته هیالین است، در حالی که در تجمع‌های G, C, D, E, F, B، بین پورسلاپوز و هیالین است. در تجمع H وضعیتی نامنظم داشته، بخشی در اطراف پوسته هیالین و بخشی بین پوسته پورسلاپوز و آگلوتینه پراکنده شده‌اند. تمامی این تغییرات خود گواه تغییر محیط و ژرف‌است. بر اساس این نمودارها، تراکم بالای نمونه‌ها در اطراف پوسته هیالین در تجمع A و I حکایت از ژرف‌تر بودن نهشته‌ها نسبت به دیگر تجمع‌ها دارد و این شرایط در تجمع‌های B و C نیز قابل تعقیب است. با این تفاوت که تراکم برخی نمونه‌ها در اطراف پوسته پورسلاپوز به احتمال حکایت از کاهش ژرف‌است. در تجمع A و I رانشان می‌دهند. از سوی دیگر تراکم نمونه‌ها در اطراف پوسته پورسلاپوز و کمتر هیالین در تجمع‌های E, F, G حاکی از کاهش ژرف‌است.

۷- نتیجه‌گیری

- نهشته‌های سازند قم در برش چینه‌شناسی اندآباد که به طور عمده از سنگ‌آهک و مارن تشکیل شده با سترای ۳۰۱ متر با نایپوستگی هم‌شب در زیر نهشته‌های سازند سرخ بالایی و بر روی سازند سرخ زیرین قرار گرفته است. در این برش با توجه به حضور روزن‌داران ساخته از رسوبات وابسته به اکیتینین و ۲۵۱/۵ متر متعلق به بوردیگالین تشخیص داده شد.

- با بررسی روزن‌داران این برش ۴۲ جنس و ۷۰ گونه از آنها شناسایی شد که در این بین ۳۹ جنس و ۶۵ گونه از روزن‌داران کف‌زی و ۳ جنس و ۵ گونه از روزن‌داران پلاتکتون هستند. با توجه به گسترش چینه‌شناسی گونه‌های شناسایی شده و مقایسه آنها با گونه‌های معرفی شده در زیست‌زون‌بندی (1967) Adams & Bourgeois آنها با گونه‌های معرفی شده در نمونه شماره An14 برش اندآباد به عنوان اولین حضور *Borelis melo curdica* در نمونه شماره Borelis melo group - Meandropsina iranica Assemblage Zone Miogypsinoides-Valvulinid Assemblage Zone Archaias-Valvulinid Assemblage Zone هستند.

همچنین بررسی فراوانی و تنوع گونه‌ای روزن‌داران در نمونه‌ها نشان‌دهنده تغییرات قابل توجهی در طول برش است، به طوری که بیشترین تنوع با ۱۶ گونه به نمونه ۲۹ An تعلق دارد. بر مبنای تغییرات تنوع گونه‌ای نهشته‌های سازند قم در برش اندآباد به تجمع ۹ (assemblage A) تا I دسته‌بندی شدند. بررسی تنوع و فراوانی روزن‌داران در تجمع‌های یادشده اشاره بر آن دارد که محیط دریایی، سکوی قاره‌ای و به احتمال بیشتر inner shelf بوده و در این محیط نیز با تغییرات ژرف‌ها بوده است.

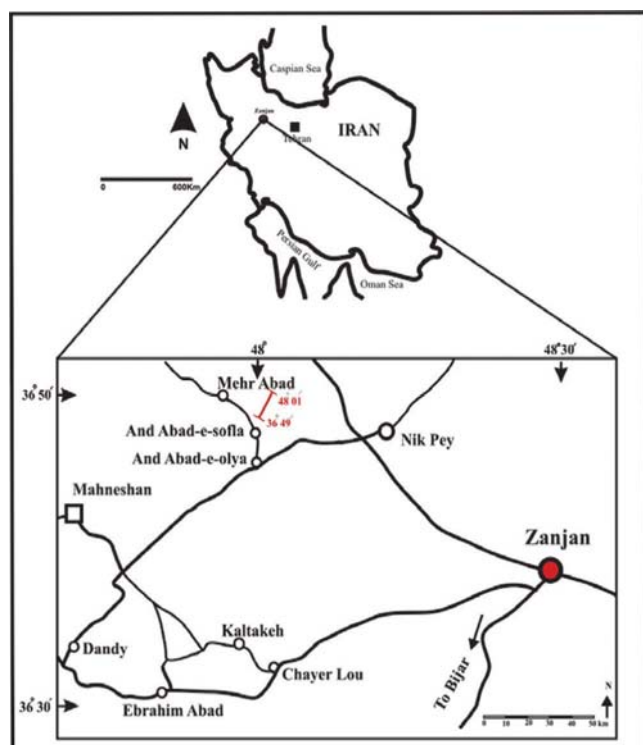
در زاگرس و سازند قم در ایران مرکزی به ما اجازه می‌دهد که از نتایج کار Adams & Bourgeois (1967) که زیست‌چینه‌نگاری سازند آسماری را ارائه داده‌اند استفاده نماییم. مقایسه این گونه‌ها با گونه‌های معرفی شده در زیست‌زون‌بندی Borelis melo curdica Adams & Bourgeois (1967) محل ظهر Borelis melo curdica در برش اندآباد (نمونه An14) به عنوان مشخص کننده مرز اکیتینین - بوردیگالین در نظر گرفته شد. بر اساس روزن‌داران از نمونه شماره An14 تا انتهای برش چینه‌شناسی منطبق با زیست‌زون اآن قابل انطباق با زیست‌زون Borelis melo group - Meandropsina iranica Assemblage Zone Miogypsinoides-Archaias-Valvulinid و پیش از آن گونه متعلق بهZone (شکل ۳). در این برش با توجه به مجموع روزن‌داران و حضور فسیلهای شاخص ۴۹/۵ متر از رسوبات وابسته به اکیتینین ۲۵۱/۵ متر وابسته به بوردیگالین است. همچنین تعداد گونه‌های شناسایی شده به تفکیک در هر نمونه نشان داد که دامنه تغییرات در گونه‌های روزن‌داران بین ۱ تا ۱۶ گونه است، به طوری که کمترین تعداد گونه متعلق به نمونه‌های شماره ۱۳، ۱۲، ۱۱، ۱۰، ۹، ۸، ۵، ۴، ۳، ۲۳، ۲۶ و بیشترین تعداد گونه متعلق به نمونه شماره ۲۹ است. بدیهی است تغییر در تعداد گونه‌ها نشانگر تغییر شرایط محیطی است. به عبارت دیگر، تغییرات تنوع گونه‌ای به طور قطع نشان می‌دهد که نهشته‌های سازند قم در برش اندآباد از شرایط محیطی پایداری برخوردار نبوده است. برای در کر هر چه بهتر شرایط محیطی و بوم‌شناختی روزن‌داران در برش مطالعه، نهشته‌های سازند قم بر اساس تغییرات نوع گونه‌ای در این برش به ۹ تجمع A(assemblage) تقسیم شدند. مبنای تفکیک و مرز بین تجمع‌ها، کاهش تنوع گونه‌ای قرار داده شد (شکل ۴). بررسی تعداد گونه‌ها در ۹ تجمع یادشده نشان می‌دهد که برش اندآباد از شرایط گونه‌ها در E با ۱۰ گونه، در B با ۹ گونه، در C با ۷ گونه، در D با ۱۶ گونه، در F با ۹ گونه، در G با ۱۴ گونه، در H با ۱۰ گونه و در I با ۱۳ گونه است. بر اساس (1991) Murray et al. (2002) و Murray (2002) فراوانی گونه‌ها در هر تجمع محیط دیرینه آنها مشخص شد (جدول ۱). به طوری که در تجمع A (assemblage A) گونه‌های (assemblage A) گونه‌های *Ammonia becarri*, *Amphistegina* و *Elphidium hauerinum* از فراوانی بیشتری برخوردارند. فراوانی *lagoon-inner shelf Ammonia becarri* نشان‌دهنده محیط دریایی و کم ژرف است و بیشترین ژرف نایستی فراتر از ۵۰ متر باشد. در تجمع B (assemblage B) *Amphistegina hauerina*, *Elphidium obtusum*, *Ammonia becarri* و *inner shelf Borelis melo* از فراوانی بیشتری برخوردار بوده و نشانگر محیط هستند. به علت حضور و فراوانی *Borelis melo* نسبت به تجمع C (assemblage C) گونه‌های *Quinqueloculina* sp., *Borelis melo curdica*, *Amphistegina hauerina*, *Quinqueloculina* sp., *Borelis melo curdica*, *Amphistegina hauerina*, *Quinqueloculina* sp., *Borelis melo* و *inner shelf Borelis melo* هستند. وجود روزن‌داران در این قسمت با توجه به کاهش فراوانی *Ammonia becarri* حکایت از ژرف‌تر شدن محیط نسبت به تجمع‌های A و B دارد. در تجمع D (assemblage D) *Borelis melo curdica*, *Borelis melo*, *Quinqueloculina* sp., *Asterigerina* و *Dendritina rangi*, *Meandropsina anahensis*, *Spiroloculina* sp. *planorbis* از فراوانی بیشتری برخوردار هستند و نشانگر محیط inner shelf هستند. در تجمع E (assemblage E) *Borelis melo curdica*, *Pyrgo* sp. گونه‌های از فراوانی بیشتری برخوردار بوده و نشانگر محیط inner shelf هستند. در تجمع F (assemblage F) *Borelis melo curdica*, *Pyrgo* sp., گونه‌های *Borelis melo curdica*, *Pyrgo* sp., *inner shelf* و *Borelis melo curdica*, *Pyrgo* sp., به احتمال ژرفای ۵ تا ۶۵ متر هستند. در تجمع G (assemblage G) *Borelis melo curdica*, *Pyrgo* sp., گونه‌های *Quinqueloculina* sp. و *Globigerinoides triloba*, *Elphidium* sp. بیشتری برخوردار است و نشانگر محیط inner shelf است. در تجمع

جدول ۱- تعیین محیط دیرینه با استفاده از روزن‌داران کف‌زی (اقتباس از; Murray, 2002؛ Gallagher et al., 1999)

1: rare, 2: common, 3: abundant.

I: inner shelf, M: middle shelf, O: outer shelf, ub: upper slope, mb: middle slope

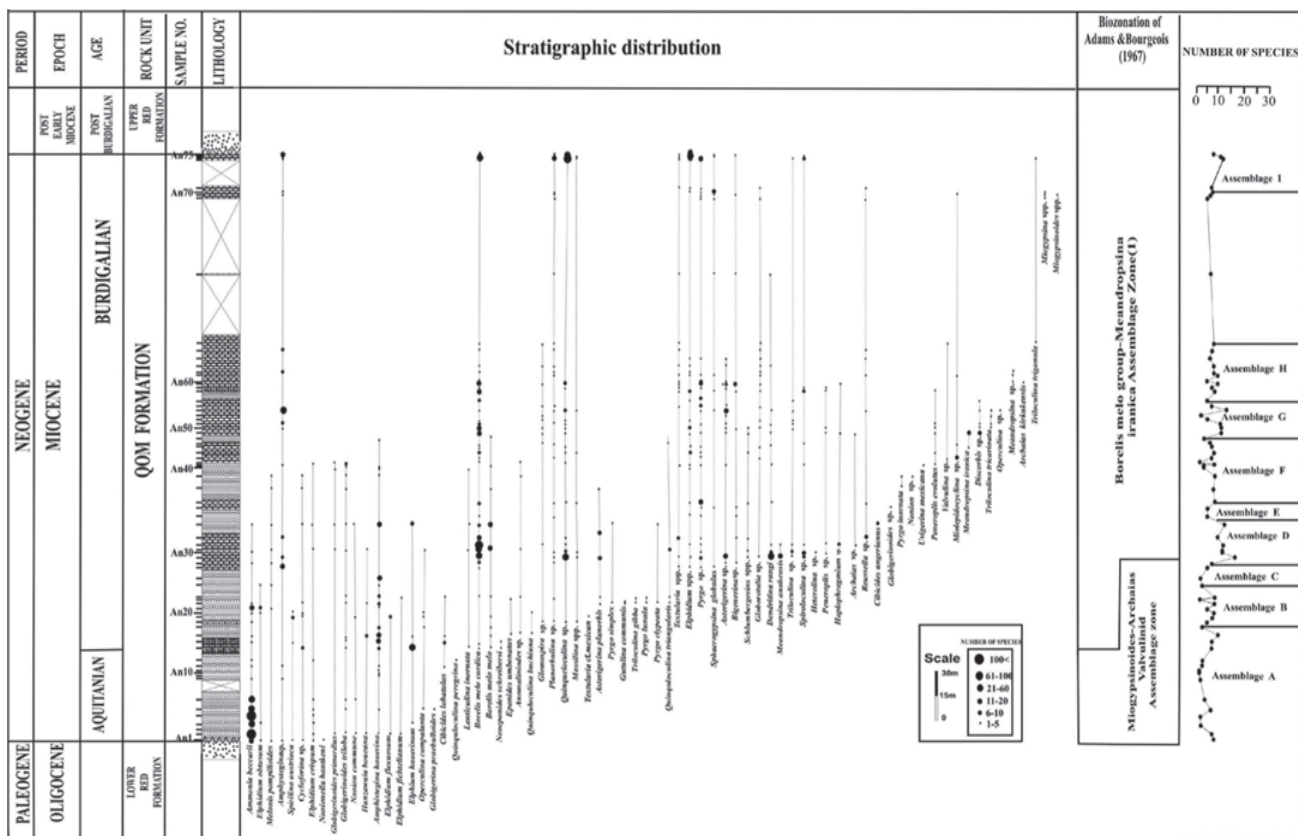
BENTHIC ROTALIIDS				BENTHIC ROTALIIDS			
Palaeoenvironmental indices				Reduced oxygen indicators			
M	O	ub	mb				
1	2	1	1	<i>Ammonia</i>	<i>buccarii</i>	<i>alaia</i>	
3	2	1	1	<i>Discorbis</i>	<i>balcombensis</i>	<i>lapsus</i>	
3	2	1	1	<i>Ephidium</i>	<i>advenum</i>	<i>moodyensis</i>	
3	2	1	1	<i>Ephidium</i>	<i>chapmani</i>	<i>pseudospissula</i>	
3	2	1	1	<i>Ephidium</i>	<i>crispum</i>	<i>reticulata</i>	
3	2	1	1	<i>Ephidium</i>	<i>erectum</i>	<i>victoriensis</i>	
3	2	1	1	<i>Notorotalia</i>	<i>clathrata</i>	<i>folia</i>	
3	2	1	1	<i>Notorotalia</i>	<i>howchinii</i>		
1	1	1	1	<i>Sigmoilella</i>	<i>pacifica</i>		
1	1	1	1	<i>Spirillina</i>	<i>vivipara</i>		
1	1	1	1	<i>Pullenia</i>	<i>quinquelobata</i>		
1	1	1	1	<i>Pullenia</i>	<i>semarginata</i>		
1	2	1	1	<i>Dyocibicides</i>	<i>biseriata</i>		
1	3	2	1	<i>Buliminula</i>	<i>marginalata</i>		
1	3	2	1	<i>Buliminula</i>	<i>truncata</i>		
1	3	2	1	<i>Parrella</i>	<i>crespinata</i>		
1	3	2	1	<i>Parrella</i>	<i>imperatrix</i>		
1	2	1	1	<i>Parrella</i>	<i>mediofusca</i>		
1	1	1	1	<i>Trifarina</i>	<i>bradyi</i>		
1	3	2	1	<i>Trifarina</i>	<i>canaariensis</i>		
1	3	2	1	<i>Cibicides</i>	<i>amoenus</i>		
1	3	2	1	<i>Cibicides</i>	<i>calitus</i>		
1	3	2	1	<i>Cibicides</i>	<i>concentrus</i>		
1	3	2	1	<i>Cibicides</i>	<i>thunbergi</i>		
1	3	2	1	<i>Cibicides</i>	<i>kareniformis</i>		
1	3	2	1	<i>Cibicides</i>	<i>lobatulus</i>		
1	3	2	1	<i>Cibicides</i>	<i>mediocristis</i>		
1	3	2	1	<i>Cibicides</i>	<i>thiara</i>		
1	3	2	1	<i>Cibicides</i>	<i>verrucosa</i>		
1	3	2	1	<i>Cibicides</i>	<i>vortex</i>		
1	1	1	1	<i>Bolivina</i>	<i>alata</i>		
1	1	1	1	<i>Bolivina</i>	<i>lapsus</i>		
1	1	1	1	<i>Bolivina</i>	<i>moodyensis</i>		
1	1	1	1	<i>Bolivina</i>	<i>pseudospissula</i>		
1	1	1	1	<i>Bolivina</i>	<i>victoriensis</i>		
1	2	1	1	<i>Astronionion</i>	<i>centroplax</i>		
1	2	1	1	<i>Astronionion</i>	<i>obesus</i>		
1	2	1	1	<i>Astronionion</i>	<i>stelliferum</i>		
1	2	1	1	<i>Astronionion</i>	<i>truncatum</i>		
1	2	1	1	<i>Uvigerina</i>	<i>miroeza</i>		
1	2	1	1	<i>Anomalinooides</i>	<i>fuscatus</i>		
1	2	1	1	<i>Anomalinooides</i>	<i>macroglobra</i>		
1	2	1	1	<i>Anomalinooides</i>	<i>nonanomoides</i>		
1	2	1	1	<i>Anomalinooides</i>	<i>planuloides</i>		
1	2	1	1	<i>Anomalinooides</i>	<i>polyciligeria</i>		
1	2	1	1	<i>Glandulina</i>	<i>levigata</i>		
1	1	1	1	<i>Glandulina</i>	<i>symmetrica</i>		
1	1	1	1	<i>Guttulina</i>	<i>communis</i>		
1	1	1	1	<i>Guttulina</i>	<i>pacifica</i>		
1	1	1	1	<i>Guttulina</i>	<i>prosterna</i>		
1	1	1	1	<i>Guttulina</i>	<i>regina</i>		
1	1	1	1	<i>Guttulina</i>	<i>spiciformis</i>		
1	1	1	1	<i>Guttulina</i>	<i>subelliptica</i>		
1	2	1	1	<i>Cibicidoides</i>	<i>perforatus</i>		
1	2	1	1	<i>Cibicidoides</i>	<i>punctulatus</i>		
1	2	1	1	<i>Globularia</i>	<i>robusta</i>		
1	2	1	1	<i>Globularia</i>	<i>revorensis</i>		
1	2	1	1	<i>Heterolepa</i>	<i>novozelandicus</i>		
1	2	1	1	<i>Heterolepa</i>	<i>opacus</i>		
1	2	1	1	<i>Heterolepa</i>	<i>subhaidergeri</i>		
1	3	3	3	<i>Cassidulinoides</i>	<i>carinata</i>		
1	3	3	3	<i>Cassidulinoides</i>	<i>levigata</i>		
1	3	3	3	<i>Cassidulinoides</i>	<i>chapmani</i>		
1	2	1	1	<i>Lenticulina</i>	<i>calcar</i>		
1	2	1	1	<i>Lenticulina</i>	<i>cf. depressa</i>		
1	2	1	1	<i>Lenticulina</i>	<i>large</i>		
1	2	1	1	<i>Lenticulina</i>	<i>loculosus</i>		
1	2	1	1	<i>Lenticulina</i>	<i>multilobata</i>		
1	2	1	1	<i>Lenticulina</i>	<i>small</i>		
1	2	1	1	<i>Lenticulina</i>	<i>vortex</i>		
1	2	1	1	<i>Sphaerocoidea</i>	<i>bulloides</i>		
1	2	1	1	<i>Pullenia</i>	<i>bulloides</i>		
1	2	1	1	<i>Pullenia</i>	<i>bulloides</i>		
1	2	1	1	<i>Gyroidinoides</i>	<i>davalliensis</i>		
1	2	1	1	<i>Gyroidinoides</i>	<i>neosolani</i>		
1	2	1	1	<i>Gyroidinoides</i>	<i>subzelanica</i>		
1	2	1	1	<i>Gyroidinoides</i>	<i>zealandica</i>		
1	1	1	1	<i>Melania</i>	<i>sp.</i>		
1	1	1	1	<i>Uvigerina</i>	<i>proboscidea</i>		
1	1	3	3	<i>Epistominella</i>	<i>cassidulinoides</i>		
1	1	3	3	<i>Epistominella</i>	<i>iota</i>		



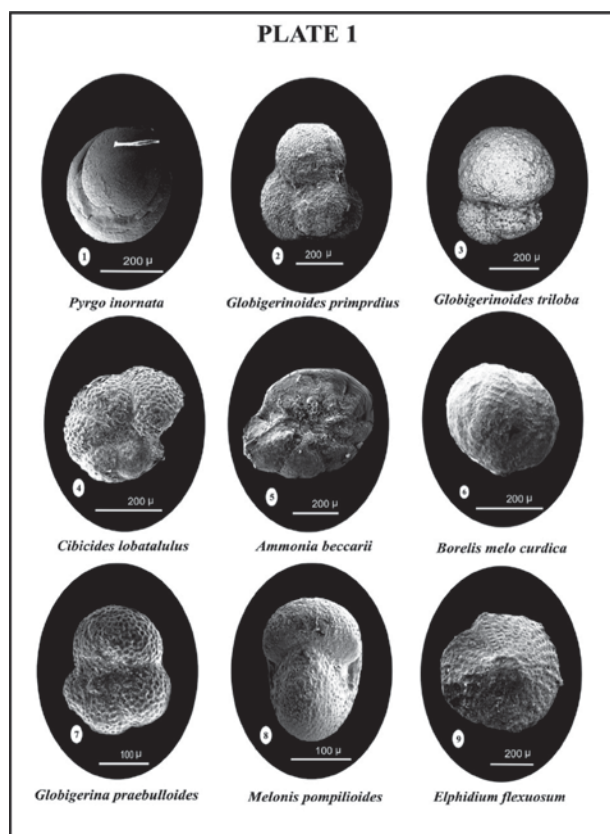
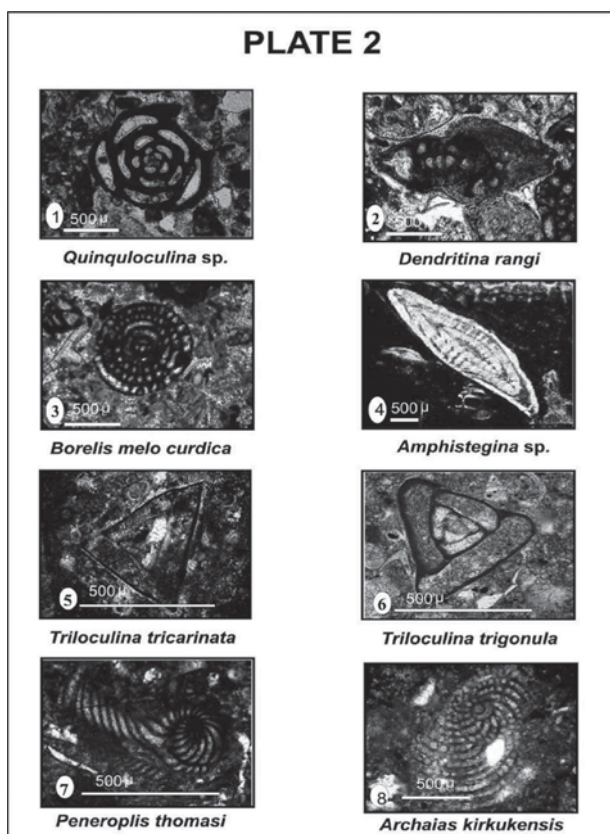
شکل ۱- موقعیت جغرافیایی و راههای دسترسی به برش اندآباد در شمال خاور ماهنشان

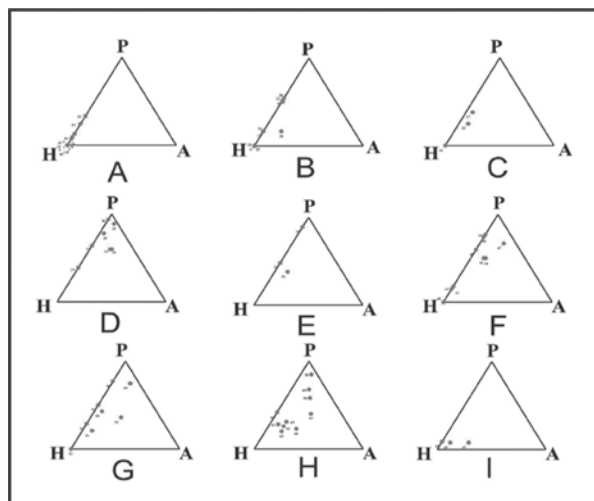


شکل ۲- مرزبین سازندهای سرخ زیرین و قم در پیش اندآباد، نگاه به سمت شمال خاوری.



شکل ۳ - گسترش چینه‌شناسی و فراوانی روزن‌داران در برش اندآباد در شمال خاور ماهنشان.





شکل ۴- نمودارهای مثلثی روزن‌داران بر اساس جنس پوسته در زون‌های تجمعی A تا I در برش اندآباد در شمال خاور ماهنشان، H پوسته هیالین، P پوسته پورسلانوز، A پوسته آگلوئینه.

کتابنگاری

رجیم‌زاده، ف.، ۱۳۷۳- زمین‌شناسی ایران، الیگوسن، میوسن، پلیوسن، طرح تدوین کتاب زمین‌شناسی ایران، شماره ۱۲، سازمان زمین‌شناسی کشور. مظفری، ب.، ۱۳۷۸- زیست‌چینه‌شناسی و سنگ‌چینه‌شناسی سازند قم و سنگ‌چینه‌شناسی سازند‌های سرخ فوکانی و پایینی در شمال خاور تکاب (شیخ جابر، موشمپا و اندآباد) پایان‌نامه کارشناسی ارشد، دانشگاه شهید بهشتی.

References

- Adams, T. D. & Bourgeois, F., 1967- Asmari biostratigraphy. Iran. Oil Oper. Co., Geol. Explor. Div., Report no. 1074, pp.1-37, unpublished.
- Alavi-Naini, M. & Amidi, S. M., 1968 - Geology of Western Part of Takab Quadrangle, Geol. Surv. Iran. Note no. 49, 98p.
- Becker, E. & Dusenbury, A. N., 1985- Mio- Oligocene (Aquitanian) Foraminifera from the Goajira Peninsula, Colombia, pp.1-8.
- Blow, W. H., 1969- Late Middel Eocene to Recent planktonic foraminiferal biostratigraphy. Proceeding first International conference on planktonic microfossil genera, 1967, 1, 199 – 422.
- Bolli, H. M. & Saunders, J. B., 1987- Oligocene to Holocene low latitude planktic foraminifera. pp. 155- 262. In: Bolli, H. M., Saunders, J. B. and Perch – Nielsen, K.(eds.), Plankton stratigraphy, Cambridge University Press.
- Gallagher, S. J., Smith, A. J., Wallace, M. W., Holdgate, G. R. & Taylor, D., 2001-The Miocene palaeoenvironmental and palaeoceanographic evolution of the Gippsland Basin , Southeast Australia: a record of Southern Ocean change.
- Henson, F. R. S., 1950- Middle Eastern Tertiary Peneroplidae (Foraminifera), with remarks on the phylogeny and taxonomy of the family, The West Yorkshire Printing Co. Lim., Wakefield, England, pp. 1-70.
- Kennet, J. P. & Srinivasan, M. S., 1983- Neogene planktonic foraminifera, (a phylogenetic atlas), Hutchinson Ross publishing company, Stroudsburg, Pennsylvania.
- Loeblich, A. R. & Tappan, J. H., 1988- Foraminiferal General and their Classification., Van Nostrand Reinhold Co., 2 vols, pls. 847. New York, 869 p.
- Mohsenul Haque, A. F. M., 1959- The Foraminifera of the Ranikot and the Laki of the Nammal Gorge, Salt Rang, Volume I, pp.1-300.
- Murray, J. W., 1991- Ecology and Palaeoecology of Benthic Foraminifera. Longman, Harlow, Essex.
- Murray, J. W., 2002- Introduction to Benthic Foraminifera In: S. K (ed.) Haslett, 2002. Quaternary Environmental Micropaleontology, Arnold, London.
- Papp, A. & Schmid, M. E., 1985- Die fossilen Foraminiferen des rtiaren Beckens Von wien Revision der Monographie Von Alcide d'Orbigny (1846), Abhandl. Geol. Bundesanst., Vienna, v. 37, pp. 1- 311.
- Postuma, J. A., 1971- Manual of planktonic foraminifera, Elsevier publishing company.
- Rahaghi, A., 1980-Tertiary faunal Assemblage of Qum-Kashan, Sabzehwar and Jahrum area,, Nat. Iran. Oil Co., Geol. Lab. Public., no. 8.
- Todd, R., 1952- Vicksburg (Oligocene) Smaller Foraminifera from Mississippi, Geological survey professional paper 241, United State Government Printing Office, Washington: 1952 pp.-1-53.

suggests that the original mineralogy was Aragonite. The boundary between the Pabdeh and Asmari Formations can be recognized by changes in the $\delta^{18}\text{O}$ and $\delta^{13}\text{C}$. In the Pabdeh Formation the $\delta^{18}\text{O}$ and $\delta^{13}\text{C}$ values are mostly negative, but in the Asmari Formation values range from positive to negative. Strontium is much higher in the Pabdeh Formation than in the Asmari Formation. Changes in isotope and elemental geochemistry clearly show the Chattian-Aquitian and Aquitanian-Burdigalian boundaries.

Keywords : Asmari Formation, Geochemistry, Oligocene, Miocene.

For persian version see pages 23 to 32

*Corresponding Author: Z. K. Mossadegh; Email: zkmossadegh@yahoo.com

Sedimentary Environment, Diagenesis and Geochemistry of the Fahliyan Formation in the Type Section (Fahliyan Anticline) and Gachsaran Oil Field

M. A. Salehi^{1*}, M. H. Adabi¹, H. Ghalavand² & M. Khatibi-Mehr¹

¹ Department of Geology, Faculty of Earth Sciences, Shahid Beheshti University, Tehran, Iran

² Department of Geology, National Iranian South Oil Company (NISOC), Ahwaz, Iran

Received: 2008 May 10 Accepted: 2008 November 17

Abstract

The Fahliyan Formation with the age of Lower Cretaceous (Berriasian-Hauterivian) were studied for microfacies analysis, diagenesis and original carbonate mineralogy in the type section at Fahliyan Anticline and subsurface section in well number 55 of Gachsaran Oil Field. Petrographic studies led to the recognition of 10 microfacies that were deposited in four facies belts: tidal flat, lagoon, shoal and open marine. The observed facies patterns indicated a carbonate rimmed-shelf depositional environment. Recognition of different type of cements shows that the Fahliyan Formation has mostly undergone meteroric diagenesis. Major and minor elements and carbon and oxygen isotope values indicate that aragonite was the original carbonate mineralogy in the Fahliyan Formation, and suggests that alteration occurred in a closed diagenetic system, with low water/rock interaction.

Keywords: Fahliyan Formation, Microfacies, Sedimentary Environment, Diagenesis, Geochemistry.

For Persian Version see pages 33 to 44

*Corresponding author: M. A. Salehi; Email: malisalehi@gmail.com

Biostratigraphy & Paleoenvironment of the Qom Formation in Northeast of Mahneshan

J. Daneshian^{1*}, M. Shahrabi² & M. Akhlaghi¹

¹ Department of Geology, Science Faculty, Tarbiat Moallem University, Tehran, Iran.

² Zarnab Co., Tehran, Iran

Received: 2008 July 22 Accepted: 2009 February 22

Abstract

75 samples of the Qom Formation in Andabad, northeast Mahneshan, were investigated. The Qom Formation in the examined section with a thickness of 301m, mainly consists of limestone and marl, and disconformably overlies the Lower Red Formation and lies under the sediments of the Upper Red Formation. A study of foraminifera was led to identifying 42 genera and 70 species of the benthonic and planktonic foraminifera, which 37 genera and 57 species is reported from this area for the first time. Among them, benthonic foraminifera have more varieties and abundances, and used for biostratigraphy. Based on the identified foraminifera, the Andabad section is comparable to Assemblages Zone 1 and 2 introduced by Adams and Bourgeois. On the basis of occurrence of the index foraminiferal species and their stratigraphic distribution, the age of the Qom Formation in the studied section is Early Miocene (Late Aquitanian to Burdigalian).

The assemblage, abundance, and species diversity of foraminifera in the examined samples shows noticeable changes in the paleoenvironmental conditions. The maximum diversity of foraminifera is sixteen species. Based on species diversity, the strata classified to nine assemblages A to I. The abundance of foraminifera in each assemblage indicates that the sediments of the Qom Formation belong to inner shelf environments.

Keywords: Central Iran, Mahneshan, Early Miocene, Biostratigraphy, Paleoenvironment, Foraminifera, Qom Formation.

For Persian Version see pages 45 to 50

* Corresponding author: J. Daneshian ; E-mail: daneshian@saba.tmu.ac.ir

The Study of Rose Diagrams by Statistical Joint Systems of Intrusive Rocks in Shahrestan Area, Piranshahr (West Azarbajian)

S. Alipour^{1*} & R. Nikrouz¹

¹ Department of Geology, Faculty of Science, Urmia University, Urmia, Iran

Received: 2008 July 07

Accepted: 2009 February 22

Abstract

Shahrestan mining district is the largest extensive granitic stone province in Iran. There are 25 active mines in this area. The study of rose diagrams with statistical joint systems at this ornamental stone mining district carried out in order to reduce expenses with low waste disposal of mining extraction. The most types of intrusive rocks are syenite, monzonite, gabbro and granite cropped out in the region. Alkali syenite is the main rock type in spite of varying color and texture. Diversity of apparent color and rock composition associated with variety of color in low distances, existence of joints, faults and thrusts around formations and rocks of moderately being metamorphosed, are the source of major problems in the region from the exploration till the excavation stages. The study results indicate that the main folding trend is extended in a northwest-southeast direction. Therefore the direction of quarries in central part must be developed in a north-south direction and in the northwest part in northwest-southeast direction while in the east of Shahrestan quarries must be created in a northeast – southwest trend.

Keywords: Piranshahr, Rose diagram, Syenite, Ornamental stone

For Persian Version see pages 51 to 56

*Corresponding author: S. Alipour ; E-mail: alipour_samad@yahoo.com

Detection of Recent Activity on Doruneh Fault Using Remote Sensing Data and Geological Information

H. Amini^{1*}, M. Fattahi¹ & M. R. Ghassemi²

¹Institute of Geophysics, University of Tehran, Tehran, Iran.

²Research Institute for Earth Sciences, Geological Survey of Iran, Tehran, Iran.

Received: 2008 November 25

Accepted: 2009 February 23

Abstract

Doruneh is an active left- lateral strike- slip fault in North-East Iran. Surface trace of this fault is about 700 km long, and cuts across Quaternary and Tertiary deposits. In some places along the fault, sediments of Paleogene, Neogene, and alluvial fans of Quaternary age are displaced by the fault. Left- lateral displacement between 91-457 m are evident in Landsat images between east of Beiragh and east of Khalil-abad. Displacements are also evident in streams that are incised over the above mentioned deposits. We have tried to estimate the recent history of activity on the fault on the basis of the measured displacements and estimated slip rates of the fault. Estimated age of left- lateral movement inception on the fault is very much younger than the displaced geologic units. These observations indicate that Doruneh Fault has been mostly active during the last few millions, which in turn proves the fault to be an active structure.